

ANALIZA, SINTEZA SI PROCESAREA SEMNALELOR DIGITALE

cu ajutorul calculatorului

Introducere

Scopul lucrarii - este fixarea cunostintelor despre semnalele utilizate in electronica, cu accent pe latura calitativa a studiului.

- sunt prezentate aprofundat doua "studii de caz", dintre care "Tehnica ferestruirii" este esentiala pentru achizitiile de date in vederea masurarilor electronice , a procesarilor pentru telecomunicatii, a procesarilor de imagini, etc.

Necesitati hard - calculator compatibil IBM-PC

Necesitati soft - setul de programe PCDSP ("Digital Signal Processing on Personal Computers")

- autor: Oktay Alkin,
Universitatea "Southern Illinois"
Edwardsville - S.U.A.

- setul de fisiere de date ce reprezinta
desfasurarea completa a lucrariei de laborator

Meniul programului PCDSP

Sistem	Date
Incarcare	Aritmetica
Salvare	Adunare
Citire	Secv + Secv
Nucleu DOS	Const + Secv
Lista variabile	Multiplicare
Stergere	Secv * Secv
Tiparire	Const * Secv
Restart	Conjugat
Filtre	Real
Filtre RFI	Imaginar
Proiectare	Par
Analiza	Impar
Filtre RII	Generare
Proiectare	Rampa
Analiza	Fereastra
Procesare	Rectangulara
Extern	Triunghiulara
Spectre	Blackman
Periodogramme	Hamming
Blackman-Tukey	Hanning
Auto-regresiv	Impuls
AR-medie mobila	Sin
Medie mobila	Cos
Grafice	Exp
Variabile	Normal
Optiuni	Uniform

Reset	Nelinear
Incarcare	Amplitudine
Salvare	Faza
Afisare	Sin
Macro	Cos
Iesire	Tg
	Exp
	Ln
	Radical
	Reciproc
Procesare	
	Convolutie
	Auto-corelatie
	Corelatie
	Translatie
	Decimare
	Inserare 0
	Adaugare 0
Transformate	
	TFR
	TFR-Inv
	TFD
	TFD-Inv
	Z-Inv
Editare	
	Copiere
	Basculare
	Adaugare
	Complex

Indicatii de lucru - Selectiile in meniu si sub-meniu -uri se fac cu tastele-sageti sau prin tastarea initialei sau majusculei marcate explicit in denumirea pozitiei respective, dupa care se tasteaza <Enter>.

- In fiecare etapa se recomanda afisarea pe ecran a notelor explicative, accesibile prin tastarea <F1>.

Documentatia explicativa pentru lucrarea de laborator - este structurata, dat fiind specificul soft al lucrarii, prin intreprindererea - operatiunilor de executat de catre student

(caractere supra-imprimeate ("Bold"))

- prezentarii teoretice, explicatiilor, observatiilor (caractere normale)
- *detalii specifice de utilizare a PCDSP*
(caractere cursive ("Italice"))

Modul de lucru - pentru a avea posibilitatea unui studiu calitativ si a face toate observatiile fara consum inutil de timp pentru operare si rulare, desi se recomanda parcurgerea tuturor etapelor din tehnologia lucrarii, se poate apela, in caz de dificultate sau, eventual, pentru verificare, la fisierele *.DSP de pe disc ce contin toate rezultatele.

Continutul referatului - Un rezumat cuprindind, principal, operatiile facute ; se recomanda respectarea succesiunii din desfasurarea lucrarii, impreuna cu rezultatele masuratorilor si observatiile cerute, fara detalii de sintaxa prezentate intre paranteze drepte sau detalii specifice de utilizare a PCDSP prezentate cu litere cursive si, doar optional, eventuale consideratii teoretice, formule sau reprezentari grafice sumare.

Desfasurarea lucrarii

1. Sinteza semnalelor - se face, in principal, in modulul

DATE / GENERARE al PCDSP, fie prin specificare functional-analitica, fie dintr-un set de forme prestabilite sau ca secvente aleatoare cu distributie normala sau uniforma (vezi notele explicative, accesibile pe ecran cu tasta <F1>). Propunem ca exercitiu generarea citorva secvente simple.

1.1. Sinteza semnalelor prin transformare z inversa - este o metoda de sinteza indirecta, care va fi detaliata pe o aplicatie din curs. Sintetizam semnalul y_n la iesirea unui sistem cu esantionare:

$$\begin{array}{l}
 \begin{array}{ll}
 x(t) = \sigma(t) & x_n = 1 \\
 X(s) = \frac{1}{s} & \xrightarrow{\quad \text{Tesant.} \quad} \\
 X(z) = \frac{z}{z-1} &
 \end{array}
 \quad \boxed{
 \begin{array}{l}
 H(s) = \frac{1}{s \cdot (s+1)} \\
 H(z) = \frac{z \cdot (1-e^{-1})}{(z-1) \cdot (z-e^{-1})}
 \end{array}
 } \quad \begin{array}{l}
 y_n = ? \\
 Y(z) = \\
 = \frac{z^2 \cdot (1-e^{-1})}{(z-1)^2 \cdot (z-e^{-1})}
 \end{array}
 \end{array}$$

(v.aplicatia 3.4, pag.108-curs)

Programul determina y_n ca transformata z inversa a lui $Y(z)$ specificat ca fractie rationala,

$$Y(z) \approx \frac{0,632121 \cdot z^2}{z^3 - 2,36788 \cdot z^2 + 1,73576 \cdot z - 0,367879}, \text{ prin "impartire continua (nelimitata)" a numaratorului, notat } A(z) \text{ al lui } Y(z) \text{ la numitorul sau, notat } B(z), (\text{ cu rezultatul aproximativ determinat in aplicatia din curs (din definitia } Y(z) \approx 0,632z^{-1} + 1,496z^{-2} + 2,455z^{-3} + 3,424z^{-4} \dots \text{)}) \\
 \text{transformatei z} \quad \underbrace{\qquad}_{\approx y_1} \quad \underbrace{\qquad}_{\approx y_2} \quad \underbrace{\qquad}_{\approx y_3} \quad \underbrace{\qquad}_{\approx y_4} \\
 \text{ca serie de puteri}$$

Intrarea pentru PCDSP o constituie polinomul $A(z)$, scris cu puteri pozitive ale lui z , prin intermediul unei secvente ce contine coeficientii puterilor lui z in ordinea descrescatoare a acestora din urma, polinomul $B(z)$ de la numitor, specificat la fel, si numarul de impartiri pe care sa le faca programul, din sirul infinit de impartiri nelimitate (s-au presupus $A(z)$ si $B(z)$ ireductibile), deci n maxim din sirul $\{y_n\}$ approximat.

* Se incarca de pe disc fisierul YA_.DSP, ce contine secventa A, specificatie pentru $A(z)$, [SISTEM / INCARCARE < YA_>] si se listeaza coeficientii : [SISTEM / TIPARIRE < A, (S(pe ecran))>]

* Se repeta operatiunea pt. YB_.DSP, selevanta B. Se pot verifica coeficientii lui B(z) din formula analitica de mai sus
 { Sevenetele A si B s-au creat in modul sistem / citire, cu respectarea normelor sintactice indicate si in notele explicative (accesibile cu tasta [F1]) : fiecare coeficient se introduce ca pereche (real,imaginari), coeficientii separati prin caractere ";" }

* Se calculeaza transformata z inversa a lui Y(z), pentru 6 esantioane care se listeaza, se trec in urmatorul tabel si se

compara cu valorile analitice, $y_n = n - \frac{e^{-1}}{1-e^{-1}} \cdot (1 - e^{-n})$:
 (v.aplicatia din curs)

y_n	calculat	analitic	y_n	calculat	analitic
y_1			y_4		
y_2			y_5		
y_3			y_6		

2. Analiza (identificarea) sistemelor prin metode de corelatie

Identificarea sistemelor, prin determinarea functiei de transfer care descrie relatia intrare-iesire, se poate face nu numai prin determinarea iesirii la intrare tip impuls unitate, ci si prin raspunsul sistemului la alte semnale, dintre care zgomotul alb (metoda exemplificata aici) si treapta unitate (metoda de analiza a sistemelor pe baza raspunsului la treapta unitate se va detalia in lucrarile de laborator urmatoare, in contextul analizei filtrelor).

$$\text{Corelatia, } x_1(t) \text{ si } x_2(t) = \int_{-\infty}^{+\infty} x(u) \cdot x(u-t) \cdot du \quad (\text{v.paragraf 2.8 curs})$$

se aproximeaza (pt. $t \approx m \cdot T$)

$$r_{x_1, x_2}(m) = \sum_n x_{1,n} \cdot x_{2,(n-m)}, \text{ pt. } m = 0, \dots, (N-1)$$

Zgomotul alb, $v(t)$ [cu densitatea spectrala de putere, d.s.p., $q_v(F)$, constanta, pentru $F \neq 0$, si cu medie nula (deci $q_v(0) = 0$ si deci si $V(0) = 0$), reprezentabil cantitativ prin abaterea medie patratica σ , intrucit, in acest caz, pentru $F \neq 0$, avem evident d.s.p., $q_v(F) = \sigma^2$] este util in identificarea sistemelor, oferind o metoda practica de determinare a functiei pondere : corelatia intre intrarea de tip zgomot alb si iesirea sistemului, $v(t)$ si $y(t)$ reprezinta tocmai $h(t)$ (cu factorul de proportionalitate σ^2). Calculind, prin integrare intre $-\infty$ si $+\infty$

$$\begin{aligned}
 r_{v,y}(t) &= v(t) \cdot \underbrace{(v(t) * h(t))}_{y(t)} = \int (v(\alpha) * h(\alpha)) \cdot v(a-t) d\alpha = \\
 &= \int v(a-t) \int h(\beta) \cdot v(a-\beta) d\beta d\alpha = \int h(\beta) \int v(a-t) \cdot v(a-\beta) d\alpha d\beta \\
 r_{v,v}(\beta-t) &= v(\beta-t) \cdot \underbrace{v(\beta-t)}_{= \sigma^2 \cdot \delta(\beta-t)} = \sigma^2 \cdot \delta(\beta-t)
 \end{aligned}$$

(intrucit spectrul auto-corelatiei zgomotului alb $v(t)$ e constant, egal cu d.s.p., $q_v(F) = \sigma^2$ rezulta ca autocorelatia zgomotului alb este tocmai impulsul Dirac de inaltime σ^2 .)

Deci, $v(t) \cdot y(t) = \sigma^2 \cdot h(t)$

Observatii: -Trebuie evitata confuzia dintre d.s.p. constanta a zgomotului alb si spectrul Fourier constant al impulsului Dirac
Doar modulul spectrului Fourier al zgomotului alb e constant.

-Corelatia de identificare prezentata anterior, trebuie facuta, din motivele expuse mai sus, cu exact acelasi semnal $v(t)$ care se aplica si la intrarea sistemului analizat, si in aceeasi ordine, intrucit, spre deosebire de convolutie, corelatia nu e comutativa.

-Comparativ cu metoda teoretica de aplicare la intrarea sistemului necunoscut a unui impuls cit mai apropiat de impulsul unitate (Dirac) ideal si masurarea iesirii $h(t)$ (dificultati practice de generare si masurare), metoda de identificare prin corelatie are, in compensatie, de rezolvat un calcul, intr-un bloc suplimentar, corelatorul.

* Se incarca de pe disc fisierul HN_.DSP si se vizualizeaza secventa HN, cu 30 de esantioane, functia pondere de identificat

* Se calculeaza si se vizualizeaza secventele HNCONVHN si HNACORHN, continind respectiv HN * HN si HN $\frac{H}{H}$ HN, pentru a observa sondarile reciproce caracteristice convolutiei si corelatiei, regularizarea (netezirea) introdusa de convolutie, ca si analogia auto-corelatie \leftrightarrow energie de interactiune a semnalului cu el insusi, cu maximul HN $\frac{H}{H}$ HN in 0 (energia, propriu-zisa a semnalului HN) (v.paragraful 2.14,pag.53-curs)

[DATE / PROCESARE / CONVOLUTIE (\) AUTO-CORELATIE, < HNCONVHN
(\) HNACORHN, HN, (HN) >]

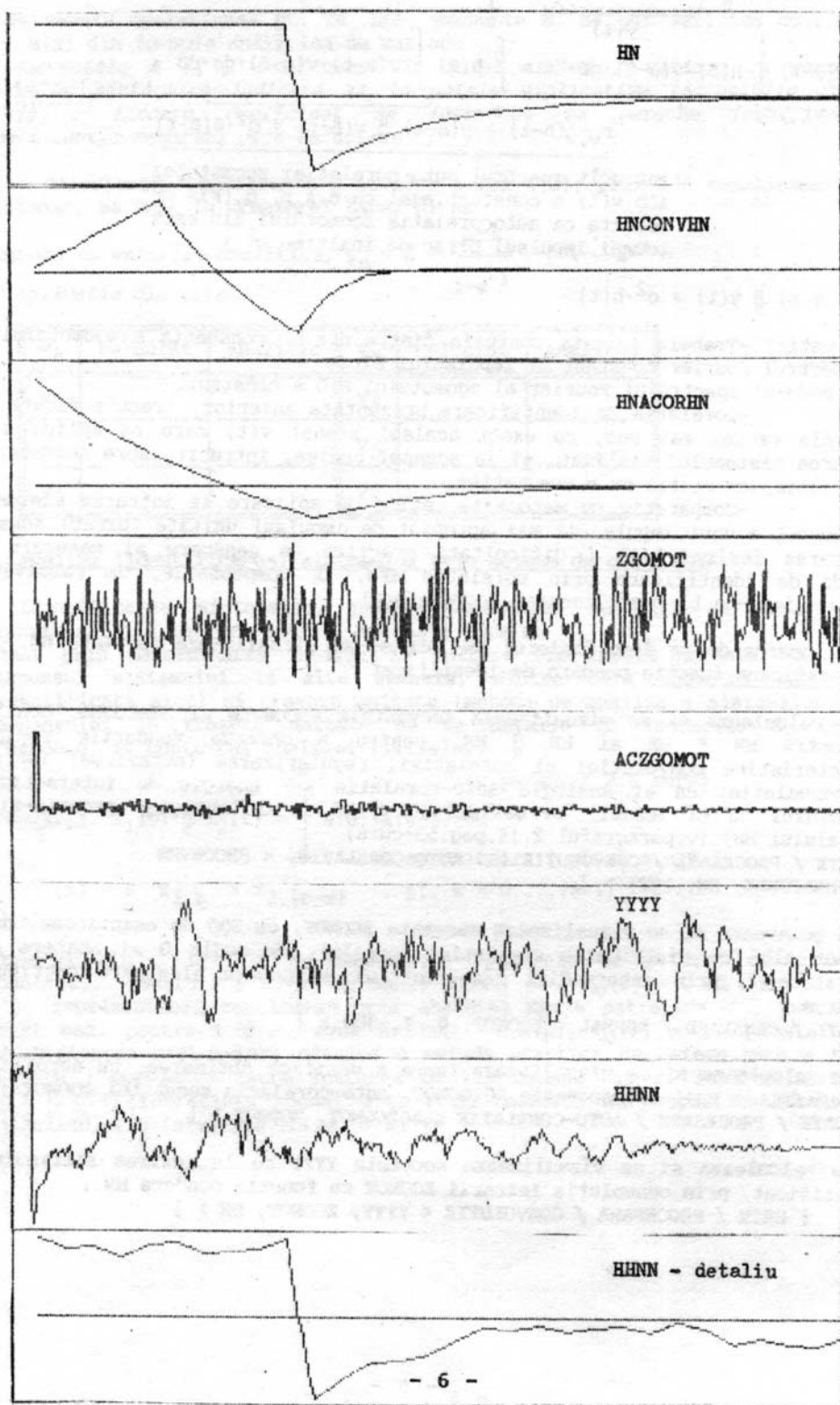
* Se genereaza si se vizualizeaza secventa ZGOMOT, cu 300 de esantioane, de tip zgomet alb (cu distributie statistica normala), cu medie 0 si abatere medie patratica 1, prin intermediul generatorului de numere aleatoare continut in program :

[DATE / GENERARE / NORMAL < ZGOMOT, 0, 1, 300 >]

* Se calculeaza si se vizualizeaza (spre a verifica obtinerea, cu aproximatie, a unui impuls unitate) secventa ACZGOMOT, auto-corelatia secventei ZGOMOT :
[DATE / PROCESARE / AUTO-CORELATIE < ACZGOMOT, ZGOMOT >].

* Se calculeaza si se vizualizeaza secventa YYYY de la iesirea sistemului de identificat, prin convolutia intrarii ZGOMOT cu functia pondere HN :

[DATE / PROCESARE / CONVOLUTIE < YYYY, ZGOMOT, HN >]



* Se calculeaza si se vizualizeaza secventa HHNN, calculata, pentru identificarea sistemului, drept corelatia ZGOMOT $\frac{1}{N}$ YYYY
(atentie la ordinea de calcul):

[DATE / PROCESARE / CORELATIE < HHNN, ZGOMOT, YYYY >]

* Se vizualizeaza, separat, doar primele 30 de esantioane ale secventei HHNN, spre a putea vedea, comparativ cu HN, precizia metodei de identificare: [GRAFICE / OPTIUNI <.. X max.=29..>]

3. Metode de analiza spectrala

3.1. Analiza semnalelor cu Transformata Fourier Rapida

* Se genereaza o secventa "SIN64", de lungime N=64, reprezentind perioada de baza a unei sinusoide redresate

deci ($W_{normata} = \omega$) $B = \pi/64 = 0,0490873852$

[DATE / GENERARE / SIN < SIN64, A=1, B=.0490873852, C=0, N=64 >]

(se detaliaza un exemplu tratat analitic la seminar (v.si aplicatia 3.7, pag.133-curs) , in care s-au calculat coeficientii seriei Fourier a sinusoidei 0 pt. k impar [perioada efectiva este redresata, $a_k = \begin{cases} 0,5 \cdot T(\text{sinusoidea neredresata}) & \text{pt. k impar} \\ -2 / [\pi(k+1)(k-1)] & \text{pt. k par} \end{cases}$

$$a_0 = 2/\pi = 0,6366197731 ; a_2 = 2/[\pi \cdot (2^2 - 1)] = 0,212206591$$

$$a_4 = 2/[\pi \cdot (4^2 - 1)] = 0,0424413182; a_6 = 2/[\pi \cdot (6^2 - 1)] = 0,0181891364$$

, etc.)

* Se vizualizeaza "SIN64" ca secventa discreta, observindu-se numerotarea tipica contextului TFR ($SIN64_0 = \sin 0, \dots, SIN64_{63} = \sin (\pi/64) \cdot 63$)

* Se calculeaza "FSIN64", TFR a secventei "SIN64" :

[DATE / TRANSFORMARE / TFR < FSIN64, SIN64 >]

* Pentru comparare cu coeficientii seriei Fourier, in acest caz particular in care perioada efectiva e jumata din perioada luata in calculul seriei Fourier, ($TFR[x_{e,p}] (m) / N \approx a_{2m}$) se imparte "TFR64" la 64 : [DATE / ARITMETICA / MULTIPLICARE / CONSTANTA < TFR64, TFR64, 0.015625 (=1/64) >]

* Se listeaza pe ecran FSIN64: [SISTEM / TIPARIRE < FSIN64, S>]

* Considerind partea imaginara nesemnificativa (spectrul unui semnal real e real), se compara primele 4 valori cu a_0, \dots, a_6 .

* Se pregeste FSIN64 pentru reprezentare grafica (sint admise doar secvente reale): [DATE / ARITMETICA / REAL < RFSIN64, FSIN64 >] si se face reprezentarea grafica, observind simetria fata de $N/2$, provenita din simetria fata de $N/2$ a secventei SIN64; deci, pentru aproximarea coeficientilor seriei Fourier, trebuie considerata doar 1-a jumata a secventei FSIN64 .

* Se decimeaza SIN64, obtinindu-se SIN32 :

[DATE / PROCESARE / DECIMARE < SIN32, SIN64, 2 >] si se reiau etapele de analiza de mai sus, observind cresterea erorilor de aproximare.

* Se continua decimarea (SIN16, SIN8, SIN4), reluind doar listarea valorilor, pentru comparatie (inclusiv cu calculele de la seminar, pt. N=4).

3.2. Calculul densitatii spectrale de putere

3.2.1. Metoda periodogramelor - se bazeaza pe teorema Wiener-Hincin: Spectrul Fourier al auto-corelatiei este densitatea spectrala de energie: (v.paragraf 2.14, pag.53-curs)

$$F [r_{11}(t)] (w) \stackrel{(not.)}{=} R_{11}(w) = | X(w) |^2$$

Interpretarea lui $| X(w) |^2$ ca densitate spectrala de energie rezulta din teorema Parseval (varianta Rayleigh pt.semnale complexe) (v.paragraf 1.1, formula 1.8, pag.6-curs)

$$\int_{-\infty}^{+\infty} | x(t) |^2 \cdot dt = \int_{-\infty}^{+\infty} | X(f) |^2 \cdot df$$

energia semnalului $x(t)$

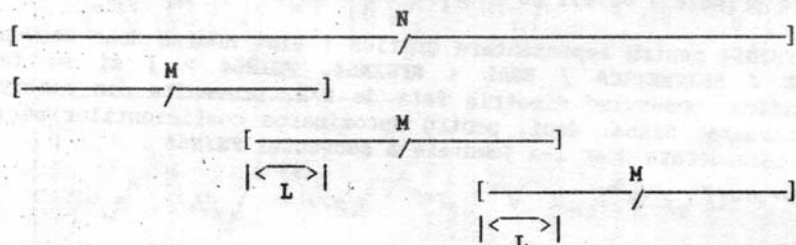
Se justifica astfel calculul aproximativ (estimativ) al densitatii spectrale de putere ca "periodograma" :

$$q(F)_{[\text{periodograma}]} = \frac{1}{N} \cdot \left| \sum_{n=1}^{N-1} x_n \cdot e^{-j2\pi F n} \right|^2$$

(unde F e frecventa normata $F = f \cdot T_{\text{esantionare}}$).

Impartirea la N (durata normata a duratei ferestrei de observatie $N \cdot T_{\text{es}}$) face trecerea de la densitatea spectrala de energie din formulele de mai sus la d.s. de putere.

Pentru semnale nedeterministe (prezентate in detaliu la cursul de Tehnica Transmisunii Informatiei), se poate arata ca abaterea medie patratica a estimativului d.s.p. de mai sus nu se anuleaza cind $N \rightarrow \infty$, dar scade daca se calculeaza d.s.p. ca medie a d.s.p. (metoda Welch a periodogramelor mediate) calculate pe segmente de lungime M din secventa de lungime N care se suprapun pe cte L esantioane la capete (nu trebuie neaparat ca $N-L$ sa fie multiplu de $M-L$) :



3.2.2. Metoda Blackman-Tukey - contine calculul bazat direct pe teorema Wiener-Hincin, al autocorelatiei (pe suport aproximat la $m = -M, \dots, M$) si apoi al spectrului acestia, cu impartire la durata secventei :

$$q_x(F) [\text{Blackman-Tukey}] = \frac{1}{N} \cdot \sum_{m=-M}^M r_{xx}(m) \cdot e^{-j2\pi Fm}$$

Metoda estimarii spectrale auto-regresive - contine calculul aproximativ al unui filtru digital recursiv, cu o functie de transfer fara zerouri in planul z, care, cu zgomot alb la intrare, sa furnizeze la iesire secventa de date respectiva.

Zgomotul alb, prezentat anterior, (vezi si notatiile convenite) este util in aceasta metoda prin relatia spectrala de tip produs algebric dintre intrare-functie de transfer-iesire, scrisa pentru d.s.p. :

$$q_x(F) = |H(F)|^2 \cdot q_v(F),$$

$$\text{particularizata : } q_x(F) = |H(F)|^2 \cdot \sigma^2$$

intrucit calculul filtrului, prin $|H(F)|^2$, duce la un rezultat direct proportional, prin σ^2 , cu d.s.p. cautata.

Se calculeaza un filtru, ales doar cu poli in planul z,

$$H(z) = \frac{1}{1 + b_1 \cdot z^{-1} + b_2 \cdot z^{-2} + \dots + b_M \cdot z^{-M}} \quad \begin{array}{l} \text{pentru simplitatea} \\ \text{sistemului de} \\ \text{ecuatii recursiv} \end{array}$$

("regresiv") corespunzator :

$$x_n = - \sum_{m=1}^M b_m \cdot x_{(n-m)} + v_n$$

Dindu-se secventa de intrare, $\{x_n\}$, si ordinul M al filtrului, se calculeaza coeficientii b_m ai filtrului (evident adaptat la forma semnalului de la iesire) si σ (care reprezinta cantitativ zgomotul alb de la intrare) ; coeficientul b_M se zice "coeficient de reflexie". Cu $z = e^{j2\pi F}$ se calculeaza direct $|H(F)|^2$ si apoi estimatul d.s.p.

Implementarea metodei se face prin 2 algoritmi de calcul care difera mai ales in modul de rezolvare a sistemului recursiv de tip "predictie liniara" de mai sus : algoritmul Yule-Walker si algoritmul Burg, dintre care utilizatorul este invitat sa aleaga. In ambele cazuri, Ataicea a demonstrat ca, pentru o estimare optima a d.s.p., dintre toate valorile lui M trebuie aleasa cea pentru care $(\ln \sigma) + M/N$ rezulta minim.

3.2.3. Metoda estimarii spectrale auto-regresive cu medie mobila - e o varianta a celei prezentate anterior, de data aceasta cu filtru digital fara poli in planul z,

$$H(z) = 1 + a_1 \cdot z^{-1} + a_2 \cdot z^{-2} + \dots + a_M \cdot z^{-M}, \text{ sistemul de ecuatii}$$

$$\text{generic, } x_n = v_n + \sum_{m=1}^M a_m \cdot x_{(n-m)}, \text{ rezolvindu-se prin metoda}$$

Durbin, care include o etapa Yule-Walker de ordinul L.
L este "mobil" (poate fi ales de utilizator): $M \ll L \ll N$.

4. Tehnica ferestruirii

Prelucrările în timp real asupra semnalelor care sunt esantionate tipice în telecomunicații digitale, măsurări și achiziții de date, procesari de imagine, etc., necesită observații finite de lungime N (limitat inferior de caracteristicile domeniului specific de semnal de procesat și superior de costuri / tehnologie).

Pe lîngă filtrarea spectrală de gardă asupra semnalului, ($FTJ \geq \frac{f_{esantionare}}{2}$, conform criteriului Nyquist), se impune deci și o filtrare temporală de gardă (trunchiere în timp, pe care o vom numi "ferestruire" pentru a o deosebi de filtrarea spectrală) la N esanțioane / observație, de exemplu pentru un transformator Hilbert sau Fourier numeric de ordin N .

Semnalul de procesat va fi deci aproximat prin trunchiere. În urmatoarea "fereastră temporală" de lungime $N \cdot T_{esantionare}$ se face o nouă observație (achiziție), urmată de un nou calcul de procesare.

In general, pentru a spori viteza de prelucrare la un anumit N , sau a permite marirea lui N la aceeași viteză de prelucrare, achiziția unei noi secvențe se face în paralel cu calculul secvenței precedente (viteză de achiziție e în general mai mare decât viteza de calcul).

Trunchierea propriu-zisă (retinerea a N esanțioane pastrindu-le întocmai valoarea) are unele dezavantaje tipice seriilor Fourier trunchiate, cu care asemanarea se face pe baza dualității timp-frecvență. Astfel, serile Fourier trunchiate la un număr finit de coeficienți spectrali, aproximăza neconvenabil discontinuitățile semnalelor periodice. Pentru un tren de impulsuri dreptunghiulare periodice, semnalul aproximant sintetizat cu un număr finit de coeficienți spectrali are supracreșteri în aproximarea flancurilor care nu scad sub 17%, chiar dacă numarul de coeficienți cu care sintetizăm aproximantul crește și supracreșterea devine tot mai îngustă - "fenomenul Gibbs".

Semnalul sintetizat cu un număr finit de coeficienți spectrali corespunde în spectru cu o trunchiere (ferestruire) dreptunghiulară deci aproximantul e convolutia aproximantului cu sinus cardinal, ondulațiile aproximantului și supracreșterile în dreptul flancurilor fiind datorate lobilor laterali destul de pronunțați pe care îi are sinus cardinal.

Dual, trunchierea în timp de tip fereastră dreptunghiulară corespunde cu supracreșteri spectrale nedorite.

Se justifică deci utilizarea trunchierii temporale, cu ferestre de ponderare optimizate pe diferite criterii.

Regularizarea prin convoluție este nedorita dacă se dorește rezoluție mare în evidențierea oricărei discontinuități spectrale.

Pentru rezoluție mare, trebuie ca lobul principal al spectrului ferestrei să fie foarte îngust (\leftrightarrow durată mare a ferestrei)

Pentru ripluri mici trebuie ca lobii laterali ai spectrului ferestrei să fie foarte scunzi (\leftrightarrow netezime mare a ferestrei în timp).

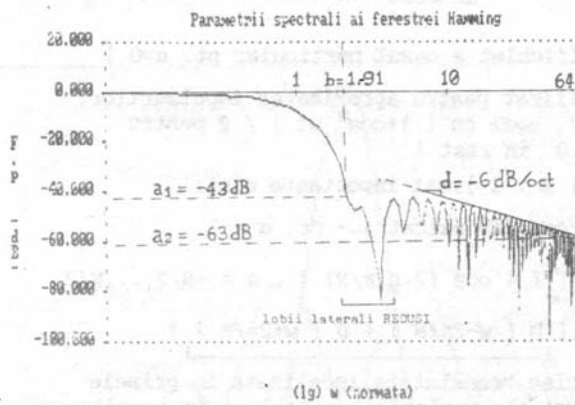
Cele două cerințe sunt contradictorii: plecarea/sosirea în extremități cu netezime cît mai mari (derivate nule pînă la un ordin tot mai mare) înseamnă racordare cu un clopot central al ferestrei tot mai îngust (deci lobul central al spectrului se latește).

O apreciere globală a ferestruirii $x(t) \cdot f(t)$ a unui semnal $x(t)$ cu o fereastră $f(t)$ este data de abaterea spectrală

$$A(w) = [X(w) * F(w)] - X(w).$$

Caracterizarea spectrala a ferestrei se face si cu parametrii :

- b - frecventa la care lobul principal cade la valoarea de virf a lobilor laterali (in unitati logaritmice,normata prin inmultire cu durata ferestrei)
- a₁- valoarea de virf a lobilor laterali (in [dB],relativ la valoarea de virf a lobului central)
- a₂- valoarea lobilor laterali la frecventa relativa 64 (la care se poate considera ca s-a atins comportamentul asymptotic in descresterea lobilor laterali.
- d - panta de descrestere asymptotica a anvelopei lobilor laterali (in dB/octava sau dB/decada cu scarile de reprezentare de mai jos)



Considerind ferestruirea unui semnal esantionat $x_e(t) = x(t) \cdot \delta_T(t)$, putem, asociativ, sa consideram prelucrarea in ansamblu ca produs al $x(t)$ cu fereastra esantionata:

$$f(t) \cdot \delta_T(t) = \sum_{n=-N/2}^{N/2} f(nT) \cdot \delta(t-nT) \quad \text{si deci spectrul semnalului esantionat si ferestruit este}$$

$$X(w) * F_e(w)$$

$$F(w) * [\frac{2\pi}{T} \cdot \delta_{2\pi/T}(w)]$$

a) Fereastra dreptunghiulara (Dirichlet) .

$$f_n = \begin{cases} 1 & \text{pt. } n = -N/2, \dots, -1, 0, 1, \dots, N/2 \\ 0 & \text{in rest} \end{cases}$$

$$F_e(w) \stackrel{\text{(not.)}}{=} D(w) = e^{-j \frac{N-1}{2} \cdot w} \cdot \frac{\sin(\frac{N}{2} \cdot w)}{\sin(\frac{w}{2})}$$

("nucleul Dirichlet" care va fi evidentiat si in calculul spectral al celorlalte ferestre).

Pe linge fereastra dreptunghiulara (Dirichlet) amintim, fara sa detaliem, o alta fereastra simpla, fereastra triunghiulara (Bartlett), de tip rampa des crescatoare utilizata si ea in analizele nepretentioase (ale proceselor (semnalelor) liniare)

b) Ferestrele in \cos^a (a natural, uzuale intre 1 si 4)

Au avantajul unei generari simple si al unei identificari usoare a proprietatilor transformatei functiilor cosinus.

$$f_n = \begin{cases} \cos^a(n\pi/N) & \text{pt. } n = -N/2, \dots, -1, 0, 1, \dots, N/2 \\ 0 & \text{in rest} \end{cases}$$

(deci fereastra Dirichlet e cazul particular pt. $a=0$)

[un semnal inrudit, utilizat pentru aproximarea impulsurilor, este "cosinus ridicat", egal cu $(1+\cos^a w)/2$ pentru $t = -\pi/w, \dots, \pi/w$ si 0 in rest]

Pe linge fereastra $\cos(a=1)$, mai importante sunt:

b1) Fereastra Hanning ("cosinus patrat") - pt. $a = 2$

$$f_n = \cos^2(n\pi/N) = 0,5 [1 + \cos(2n\pi/N)], n = -N/2, \dots, N/2$$

$$F_e(w) = 0,5D(w) + 0,25[D(w-2\pi/N) + D(w+2\pi/N)]$$

(nuclee translate, localizate in primele zeroni ale nucleului central si in opozitie de faza cu lobii laterali ai acestuia -> anularea parciala a lobilor laterali)

[principiul ferestrelor \cos^a]

b1') Fereastra Hamming - derivata din fereastra Hanning pe principiul anularii partiale a lobilor laterali

$$f_n = \beta + (1-\beta)\cos(2n\pi/N)$$

(fereastra Hamming e caz particular al ferestrei Hamming pt. $\beta = 0,5$)

$$F_e(w) = \beta D(w) + 0,5(1-\beta)[D(w-2\pi/N) + D(w+2\pi/N)]$$

b1'') Fereastra Hamming propriu-zisa respecta conditia

$$f_0 = 1 \quad \Leftarrow \quad [\beta + (1-\beta) = 1]$$

Principial, 1-ul lob lateral care poate fi anulat e centrul in jurul lui $5\pi/N$ [si nu la $3\pi/N$ care ramane in lobul principal latit (aceasta latire e dezavantajul complementar avantajului dat de netezirea spectrului ferestrei)].

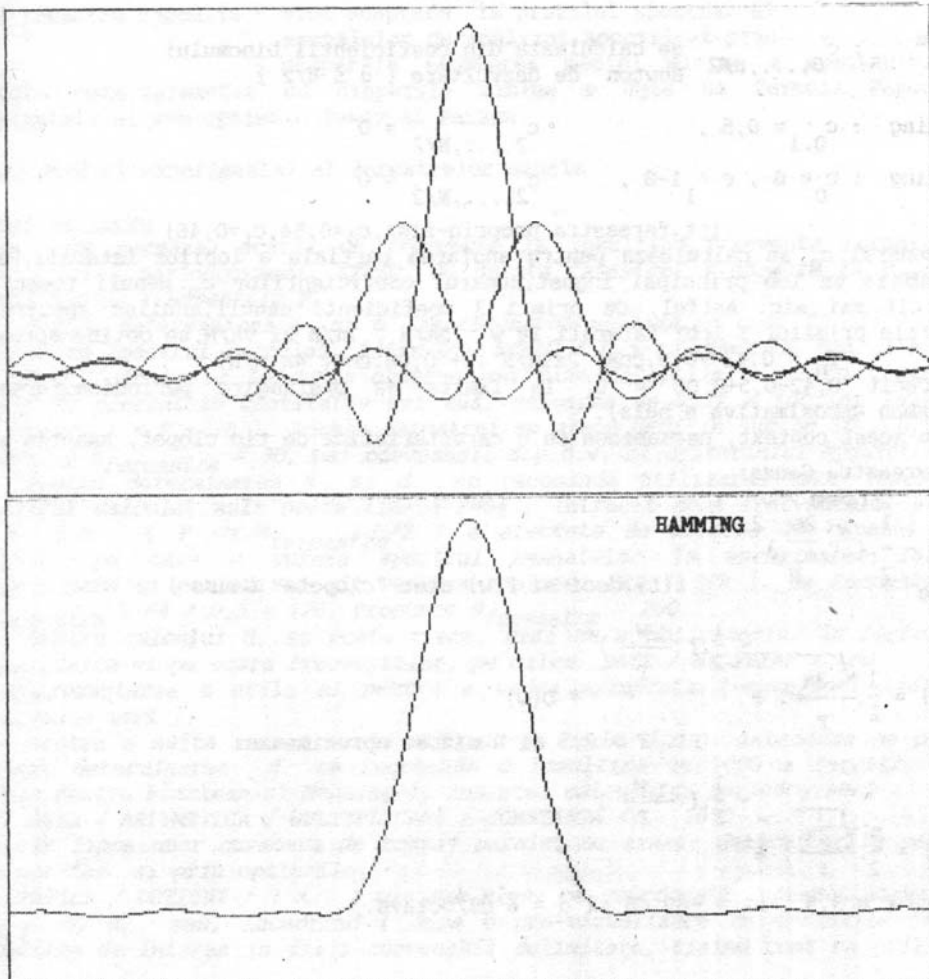
Așa cum se ilustrează mai jos, maximele celor două spectre laterale sinc adăugate la dreapta și la stânga nucleului central sinc Dirichlet, compensează cu primul și, respectiv, cel de-al doilea minim local, maximul local principal de la $w = 5\pi/N$, anulând astfel $F_e(w)$ la aceasta pulsatie. Se obține profilul spectral scontat, netezit, dar cu o latire a lobului central.

Considerând, aproximativ, ca extretele locale ale celor trei funcții sinc sunt la $(2k+1)\pi/N$, ecuația de compensare este

$$\frac{1-\beta}{2} \cdot \left(\frac{N}{3\pi} + \frac{N}{7\pi} \right) = \beta \cdot \frac{N}{5\pi} \quad \Leftrightarrow \beta = 25/46 = 0,543478261.. \approx 0,54$$

astfel ca fereastra Hamming propriu-zisă e

$$f_n = 0,54 - 0,46 \cdot \cos(2 \cdot n \cdot \pi / N)$$



Fata de fereastra Dirichlet, inrăutatirea b (desi lobul central se lateste practic cu mai putin de b_{Hamming} / $b_{\text{Dirichlet}}$ fata de fereastra Dirichlet caci b e raportat la 1-ul lob lateral care scade semnificativ) e insotita de o importanta imbunatatire (de peste 30 de ori) a atenuarii lobilor laterali

c) Fereastra Blackman

$$f_n = \sum_{m=0}^{N/2} c_m \cdot \cos \left(2\pi \cdot m \cdot n / N \right) \quad n = -N/2, \dots, N/2 \quad , \quad \text{cu} \quad \sum_{m=0}^{N/2} c_m = 1.$$

$$F_e(w) = \sum_{m=0}^{N/2} (-1)^m \cdot \frac{c_m}{2} \cdot [D(w - 2\pi \cdot m / N) + D(w + 2\pi \cdot m / N)]$$

Ferestrele Blackman reprezinta deci generalizari ale celor prezentate pina acum:

$$\text{Dirichlet: } c_0 = 1, \quad c_{1, \dots, N/2} = 0$$

\cos^{α} : $c_{0, \dots, N/2}$ se calculeaza din coeficientii binomului Newton de dezvoltare ($\alpha \leq N/2$)

$$\text{Hanning : } c_{0,1} = 0,5, \quad c_{2, \dots, N/2} = 0$$

$$\text{Hamming : } c_0 = \beta, \quad c_1 = 1-\beta, \quad c_{2, \dots, N/2} = 0$$

(pt. fereastra propriu-zisa, $c_0=0,54, c_1=0,46$)

In general c_m se calculeaza pentru anularea parciala a lobilor laterali. Pentru a realiza un lob principal ingust, numarul coeficientilor c_m nenuli trebuie sa fie cit mai mic. Astfel, cu primii 3 coeficienti nenuli, anulind spectrul in centrele primilor 3 lobi laterali, la $w = 5\pi/N, 7\pi/N$ si $9\pi/N$, se obtine aprox.:

$$f_n = 0,42 + 0,5 \cdot \cos(2\pi \cdot n / N) + 0,08 \cdot \cos(4\pi \cdot n / N)$$

(intrucit $0,42 - 0,5 + 0,08 = 0$, la limita de prelungire periodica, fereastra Blackman aproximativa e nula).

In acest context, deasemenea cu o caracteristica de tip clopot, amintim si:

d) Fereastra Gauss:

$$f_n = e^{-\frac{1}{2} \cdot \left(\frac{2n}{N} \right)^2} \quad (f(t), deci si F(w) sint "clopoate" Gauss)$$

$$F_e(w) = \frac{1}{2} \cdot \frac{\sqrt{2\pi}}{\Gamma} \cdot e^{-\frac{1}{2} \cdot \left(\frac{w}{\Gamma} \right)^2} * D(w)$$

Pt. $\Gamma > 2,5$ si w mic, se aproximeaza:

$$F_e(w) = \frac{N}{2} \cdot \frac{\sqrt{2\pi}}{\Gamma} \cdot e^{-\frac{1}{2} \cdot \left(\frac{w}{\Gamma} \right)^2}$$

Pentru $\Gamma = 3,5$, $a_1 = -69$ dB si $d = 6$ dB/octava.

e) Ferestre adaptate la domeniul semnalelor de analizat

e1) Ferestre Tseng - se determina prin impunerea unor conditii de latime a lobului principal si inaltime a lobilor laterali, eventual cu frecvente

impuse de anulare,(care permit,de exemplu,o rezolutie sporita in vecinatatea imediata a liniilor spectrale principale ale semnalului $x(t)$ de analizat), spectrul ferestrei fiind deci intr-un gabarit de tip "filtru trece jos" si sintetizat pe tipicul teoriei filtrelor electrice,cu polinoame Cebisev. Fereastra temporală se determina de aici prin transformare Fourier inversa.

e2) Ferestre Kaiser-Bessel - dintre toate ferestrelor de aceeasi durata,aceasta e adaptata la semnalele cu durata respectiva si o anumita banda. Formula ei, in care e considerata banda, a fost determinata de Kaiser cu ajutorul functiei Bessel de primul ordin modificata.

e3) Ferestre Papoulis - sunt adaptate la profilul spectral al semnalelor de analizat,specificat prin dispersia (abaterea medie) minima a spectrului.La o durata data,fereastra cu dispersie minima e data de formula Papoulis, cu variantele ei sub-optimale Tukey si Parzen.

4.2. Studiul experimental al ferestrelor uzuale

Modul de lucru

Se face normarea scarii de frecvente la inmultind frecventa normata (la $f_{esant.}$) a periodogramei, $NFREQ$, cu durata ferestrei (normata la $T_{esant.}$), obtinindu-se frecvențele F .

Pentru determinarea a_1 si b se recomanda utilizarea unor ferestre scurte, astfel ca spectrul calculat, intre $0 < NFREQ < 0,5$ sa cuprinda doar 1-a decada a lui F , pentru a se putea observa mai bine detaliile (pentru tipurile de ferestre prezентate cantitatativ mai sus, valoarea de virf a lobilor laterali e in decada $1 < F < 10$). Durata ferestrei se alege deci in jur de $10 / 0,5 = 20$. Propunem $N_fereastra = 30$, mai convenabil d.p.d.v. al criteriului Nyquist.

Pentru determinarea a_2 si d se recomanda utilizarea unor ferestre cu spectrul calculat mult peste limita $F=64$, intrucit zona frecvențelor extreme, $f \approx 0,5$, ($F \approx N_fereastra/2$) e afectata de alierea la capatul benzii tipice, pe care o sufera spectrul semnalelor la aproximarea lor prin esantionare si periodizare in vederea analizei TFD (TFR). Se recomanda deci $N_fereastra > 64 / 0,5 = 128$. Propunem $N_fereastra = 200$.

Pentru calculul d , se poate trece, desi nu e obligatoriu, la reprezentare logaritmica si pe scara frecvențelor, pe calea DATE / NELINIAR / LOG [reprezentarea e utila si pentru a vedea asimptota (-anvelopa) liniara la frecvențe mari].

Pentru a evita saturarea la -100 dB pe curba d.s.p. introdusa de program, pentru determinarea d se recomanda o inmultire cu 1000 a ferestrei (cel putin pentru Blackman si Hanning), inaintea calculului periodogramei :
([DATE / ARITMETICA / MULTIPLICARE / CONSTANTA <.. 1000 ..>])

In lipsa unor cursoare de trasaj paralel cu axele, determinarile pe grafic se pot face si prin optiunile (GRAFICE / OPTIUNI /) X,Y ; min,max alese pe coordonata reprezentativa pentru $a_1,2$, b , d , sau, incadrind (dupa o pre-vizualizare cu optiunile "Auto") punctele de interes in fisii convenabil delimitate, tinind cont ca grila are

5×5 linii (ex. pentru a masura d.s.p. de $-32,5$ dB la $F = 2,1$, poate fi convenabila optiunea $Y_{\min.} = -35$, $Y_{\max.} = -30$ si $X_{\min.} = 2$, $X_{\max.} = 2,5$, etc.)

Pentru determinarea lui d , se recomanda incadrarea intre ($F_{\min.} =$) $X_{\min.} = 45$ si ($F_{\max.} =$) $X_{\max.} = 90$ (deci o octava, in al carei centru geometric se afla $F = 64 \approx 45 \cdot \sqrt{2} = 90/\sqrt{2}$).

Masuratori in laborator

* Se genereaza, se vizualizeaza si se studiaza experimental ferestrele Dirichlet, Bartlett, Blackman, Hamming si Hanning :

- DATE / GENERARE / FEREASTRA / <tip>, apoi
- SPECTRU / PERIODOGRAMA ..<ferestruire rectangulara>, <scalare logaritmica>..

* Se completeaza tabelul

tipul ferestrei	parametrii caracteristici			
	a_1 [dB]	b	a_2 [dB]	d [dB/oct]
Dirichlet				
Bartlett				
Blackman				
Hamming				
Hanning				

* Se genereaza un semnal "xma" cu modulatie de amplitudine, banda laterala + purtatoare (MA BLD+P),
 - de lungime $512 \cdot T_{\text{es.}}$, ($N=512$)
 - cu purtatoare cosinusoidală, "xp", 25 perioade / secventa :
 - observatie: alegind un semnal cu (anti-) simetrie fata de $N/2$, spectrul aproximativ este simetric, ca si cel al semnalului ne-aproximat

$$\text{parametrul B} = \frac{25 \cdot 2\pi}{512} = 0,30679616$$

pulsatia normata w_p (= $w_p \cdot T_{\text{esantionare}}$)

- observatie: pentru a respecta conditia Nyquist, trebuie ca $F < 0,5$, deci $W (=B) < \pi$, dar se recomanda o valoare mult mai mica, (cu cel putin un ordin de marime) data fiind aproximarea suplimentara introdusa de ferestruire.

[DATE / GENERARE / COS < XP, A=1, B = 0.30679616, C=0 >]

- cu semnal modulator, "xm", 2 perioade / secventa :

$$W_m = B = \frac{2 \cdot 2\pi}{512} = 0,024543693 \quad [\text{generat analog cu "xp"}]$$

- cu indice de modulatie $m = 0,4$ ["xm" se prelucra prin

- inmultire cu 0,4 : DATE / ARITMETICA / MULTIPLICARE /

CONSTANTA < XM, XM, 0,4 > si

- sumare cu 1 : DATE / ARITMETICA / ADUNARE /

CONSTANTA < XM, XM, 1 >]

- "xma" se obtine prin produsul "xp" cu "xm" :

[DATE / ARITMETICA / MULTIPLICARE / SECVENTA < XMA, XP, XM >]

* Se calculeaza periodograma, cu ferestre Dirichlet si Hanning:

[SPECTRU / PERIODOGRAAMA < Segment=512, R (respectiv A),

(scara liniara pt. d.s.p.:) 1, XDXMA (respectiv XAXMA) >]

* Se reprezinta grafic cele doua periodograme (e suficient si "plot direct": <F2>), observind :

- dezavantajul ferestrei Hanning: - pierderea rezolutiei spectrale, cu latirea zonei spectrale din jurul frecventei purtatoare pina la inglobarea celor doua benzi laterale, si

- avantajul ferestrei Dirichlet (rezolutia) (pentru aceasta se poate comuta intre trasarea continua si discreta a spectrului, cu GRAFICE / OPTIUNI / C (respectiv D),..)

(e suficient pt. comutare sa tastati <ESC> dupa ce ati mai coborit 1-2 pozitii in sub-meniu GRAFICE / OPTIUNI) , observind in spectrul d.s.p. discret XDXMA purtatoarea si cele doua linii spectrale laterale.

* Se verifica, pe spectrul d.s.p. discret XDXMA, ca cele doua linii spectrale laterale au inaltimea aproximativa

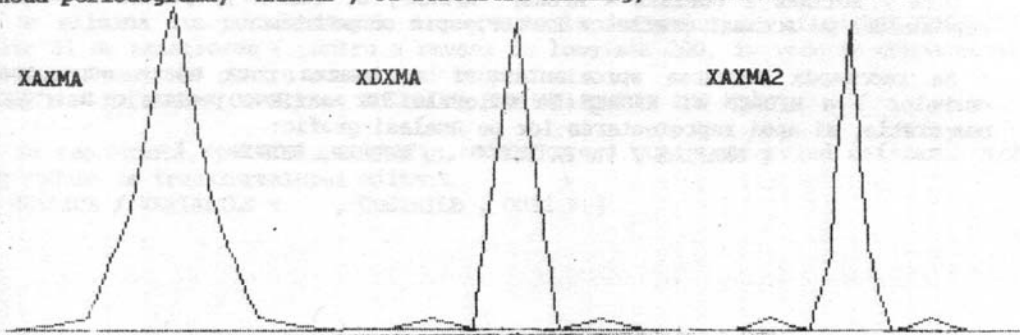
$(m/2)^2 = 0,04$, ($m/2$ in spectrul Fourier) relativ la purtatoare.

Observatie: Cu acest exemplu nu se poate observa celalt aspect, al netezimii spectrului [fara prezenta unor ripluri care indica componente spectrale false (desi, la spectrele "netede" obtinute cu celealte ferestre, latirea zonelor spectrale inseamna tot componente spectrale false)] , care, in mod dual, face ca fereastra Hanning sa fie mai avantajoasa, asa cum se poate vedea din studiul comparativ urmator.

Pentru a preveni astfel de pierderi de rezolutie, e indicata, pe de-o parte ridicarea curbei logaritmice a d.s.p. si, pe de-alta parte, prelungirea observatiei asupra semnalului analizat (spectrul propriu va intra in convolutie cu spectrul mai ingust al unei ferestre de durata mai mare, al carui lob principal e mai ingust decit pasul rezolutiei spectrale cerute)

* Se dubleaza lungimea secventei "xma":

[DATE / EDITARE / ADAUGARE < XMA2, XMA, XMA >] , observind ca noua periodograma, "XAXMA2", cu fereastra Hanning, deceleaza cele 2 BL.



Studiu comparativ al ferestrilor

* Se genereaza o secventa "CC" de lungime N=256, cu spectrul cu 2 linii egale la F=0 si F=5/256=0,01953125 : $CC_n = 1+2\cos B \cdot n$ cu $B = 5 \cdot 2\pi / 256 = 0,122718463$ (5 perioade/secventa) :
[DATE / GENERARE / COS < CC, A=2, B=0.122718463, C=0 >, apoi
DATE / ARITMETICA / ADUNARE / CONSTANTA < CC, CC, 1 >]

* Se calculeaza periodogrammele XDCC, XTCC, XBCC, XHCC si XACC, ale lui CC, cu toate tipurile de ferestre si scara logaritmica <..tip 2 ..> pentru d.s.p.

* Se vizualizeaza comparativ cite doua periodograme, intre ($F_{\min.} =$) $X_{\min.} = 0$ (sau "Auto") si ($F_{\max.} =$) $X_{\max.} = 0,05$, notind observatiile facute si ordinea descrescatoare pe criteriile de optim:
a) rezolutie, b) 1-ul riplu c) latirea zonelor spectrale

Verificari de consistenta TFR - periodograme d.s.p.

* Se genereaza o secventa dreptunghiulara "DREP" de lungime N=32 (durata relativ scurta <-> spectru relativ larg, mai usor de observat) :
[DATE / GENERARE / FERAESTRA / RECTANGULARA < DREP, 64 >]

* Se calculeaza "XDRREP", periodograma d.s.p. a lui DREP, cu scara liniara (tip 1) :
[SPECTRU / PERIODOGRAMA < DREP, R, 1, XDRREP >]

* Se calculeaza "RXDREP", radical din XDRREP, pentru a obtine, conform teoremei Wiener-Hincin, estimatul modulului spectrului:
[DATE / NELINEAR / RADICAL < RXDREP, XDRREP >]

* Se prelungeste DREP, la N=512 esantioane, cu o secventa de (512-32)= 480 esantioane 0 (pentru a obtine o secventa TFR de 512 esantioane, din care 1-a jumata, avind exact 256 esantioane, cit lungimea fixa a periodogramelor, sa poata fi comparata cu RXDREP) :
[DATE / PROCESARE / ADAUGARE 0 < DREP, DREP, 480 >]

- observatie: spectrul TFR sau d.s.p. a unui semnal (inerent de tip impuls generalizat - cu suport finit - in contextul acestui set de programe) nu se modifica prin prelungirea lui la stanga sau la dreapta cu secvente de 0, intrucit ferestruirea se face cu o aceeasi functie de latime N=256 (spectrul exact e aproximat prin convolutie cu un acelasi spectru al ferestrei).

* Se calculeaza "FDREP", TFR a lui "DREP" :
[DATE / TRANSFORMARE / TFR < FDREP, DREP >] si apoi modulul sau, "MFDREP" : [DATE / NELINEAR / MODUL < MFDREP, FDREP >], care se trunchiaza la 256 esantioane:
[DATE / EDITARE / COPIERE < MFDREP, MFDREP, 0, 255 >], pentru a putea fi reprezentat pe acelasi grafic cu RXDREP, spre comparatie.

* Se recomanda normarea aproximativa (nu exacta caci apare suprapunerea curbelor) a MFDREP si RXDREP la valorile lor maxime, pentru o mai usoara comparatie, si apoi reprezentarea lor pe acelasi grafic:
[GRAFICE / VARIABILE < , MFDREP, RXDREP >]

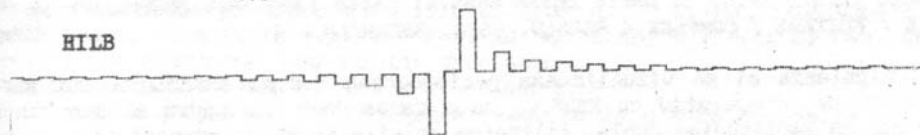
5. Procesarea semnalelor

Procesarea semnalelor e tratata generic de programul PCDSP drept convolutie cu o secenta oarecare ce poate fi asimilata si cu functia pondere temporală (raspunsul la impulsul unitate) a unui filtru digital.

* Se incarca de pe disc fisierul HILB_ si se vizualizeaza secenta HILB care continine functia pondere temporală (raspunsul la impulsul unitate) a unui transformator Hilbert digital de ordin 63 (obtinut ca filtru RFI, cu sectiunea FILTRE a setului de programe PCDSP, care va fi aprofunda in urmatoarele lucrari de laborator). Formula analitica a functiei pondere, pe baza careia secenta HILB se poate obtine si direct, dar mai laborios, este :

$$s_n \quad = \quad \begin{cases} 0 & \text{pt. } n \text{ par} \\ \frac{1}{N} \cdot \operatorname{ctg} \frac{n \cdot \pi}{N} & \text{pt. } n \text{ impar} \end{cases} \quad \text{v.paragrafele 3.9} \\ \text{(si 2.15) din curs}$$

generata in HILB prin translare pentru centrare pe $n = 31$ (in vederea acestei centrari s-a ales N_{HILB} impar) .



Reamintim ca, la observatii / achizitii / procesari pe secente de N esantioane, se recurge adesea la centrarea temporală convențională pe $N/2$ pentru a putea trata și aspecte de paritate sau cauzalitate în domeniul temporal.

Dual, în TFR (și în periodogramele d.s.p. de 512 linii, calculate (doar) pentru secente complexe), în a 2-a jumătate a secentei se găsește, translată cu N pozitii la dreapta, zona spectrală a frecvențelor negative.

* Se generează secenta cosinusoidală COS1 cu ($W \cos =$) $B = 7 \cdot 2\pi / 199 = 0,221016568$, avind 7 perioade și 200 esantioane (nr.impar de perioade și 199 în loc de 200 la numitorul lui B - pentru simetrie perfectă, cu axa centrală la (n) = 99,5 - intrucît $n = 0,..,199$) :
[DATE / GENERARE / COS < A=1, B=0.221016568, C=0, 200 >]

* Se calculează și se vizualizează transformata Hilbert a lui COS1, prin trecerea secentei COS1 prin filtrul digital RFI - transformator Hilbert (posibila și în modul filtru / procesare) realizată prin convolutie
 $\text{COS1HILB} = \text{COS1} * \text{HILB}$:
[DATE / PROCESARE / CONVOLUTIE < COS1HILB , COS1, HILB >].
Se observă că $N_{\text{COS1HILB}} = N_{\text{COS1}} + N_{\text{HILB}} - 1 = 262$.

* Se elimină din portiunile de trecere de la începutul și sfîrșitul COS1HILB cite 31 de esantioane (pentru a reveni la lungimea 200, în vederea comparării cu COS1, pastrând pentru aceasta și centrarea) :
[DATE / EDITARE / COPIERE < COS1HILB, COS1HILB, 31, 230 >]

* Se reprezinta, pe același grafic, COS1HILB și COS1, observind defazarea $\pi/2$ introdusa de transformatorul Hilbert
[GRAFICE / VARIABILE < , COS1HILB , COS1 >]

nr.liniei spectrale	FSSSSS			FSSSSH		
	Real	Imaginar	Fazor	Real	Imaginar	Fazor
:						
30						
31						
32						
:						

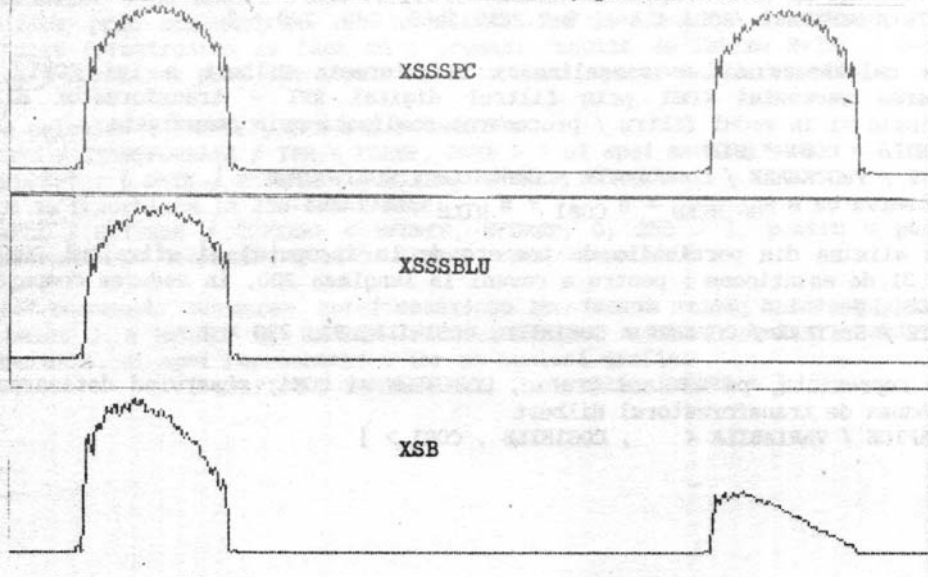
* Se revine la procesarea propriuzisa, calculindu-se semnalul asamblat BLU, ca secenta SSSBLU avind ca parte reala SSSS si parte imaginara SSSPHILB :
[DATE / EDITARE / COMPLEX < SSSBLU, SSSS, SSSPHILB >]

* Se calculeaza si se vizualizeaza periodograma d.s.p. XSSSPC a lui SSSBLU, observindu-se, comparativ cu XSSSPC, ca a ramas doar o singura BL din banda de baza, dar cu amplitudine dubla, filtrarea celeilalte BL fiind perfecta.

* Se verifica corectitudinea si precizia procesarii de mai sus introducind o mica eroare ; se incarca de pe disc fisierul SP2_.DSP si se vizualizeaza secenta SP2, de aceeasi lungime 262, care reprezinta SSSS cu o mica translatie, de 1 esantion.

* Se asambleaza semnalul SB de tip (BLU cu rest de banda laterala (RBL)) :
[DATE / EDITARE / COMPLEX < SB, SP2, SSSPHILB >]

* Se calculeaza si se vizualizeaza periodograma d.s.p. XSB a lui SB, observindu-se, comparativ cu XSSSPC si XSSSPC, prezenta RBL.



Daca setul de programe PCDSP ar fi implementat si convolutia ciclica de ordin N, ar fi fost evidenta legatura intuitiva dintre secenta de intrare, tip cos, cu perioada N si iesirea tip sin legata de intrare prin functia pondere tip c tg a transformatorului Hilbert

5.2. Procesarea digitala BLU

Prezentam un "studiu de caz" al procesarii digitale BLU a unui semnal BLD prin metoda defazarii cu transformator Hilbert.

Cele doua BL sint benzile spectrului de baza, cea de la frecvente pozitive [care va ramane in aceeasi pozitie in spectrul BLU dar cu valoare dublata (avind deci aceeasi energie cu semnalul BLD initial)] si cea de la frecvente negative (care va dispare din spectrul BLU).

A nu se confunda aceasta procesare cu MA - BLU in care poate fi insa inclusa ca baza de implementare, pentru obtinerea semalelor MA - BLU si a multiplexarilor aferente cu diviziune in frecventa cu utilizare de doua ori mai eficiente in telecomunicatii a spatiului de frecvente alocat decit la MA simpla.

* Se incarca de pe disc, din fisierul SSSP_.DSP si se vizualizeaza secenta SSSP reala, construita pentru a avea BL spectrale (simetrice caci semnalul e real) net conturate, aproximativ dreptunghiulare.

{ Detalii despre modul in care s-a obtinut SSSP :

Pentru a obtine BL net conturate recurgem la o mica deplasare din zona F=0 prin multiplicare in timp cu o secenta cosinusoidală, deci o "MA de produs", auxiliara, care nu trebuie confundata, asa cum am aratat, cu MA cu purtatoare de inalta frecventa pentru telecomunicatii.

Pentru a obtine BL aproximativ dreptunghiulare, semnalul temporal "modulator", de baza, e de tip sinus cardinal cu pulsatia normata ($W_{Sinc} = \pi/2$) $B=0,5$ de lungime $N=200$, constituit dintr-o secenta SINC (dintr-o secenta SIN de 99 esantioane, (initial de 100 esantioane dar, cu eliminarea primului prin editare / copiere a esantioanelor 1 - 99) impartita la o secenta RAMPA de 99 esantioane [incepand de la valoarea 1 (pentru a evita o impartire ulterioara la 0 in constituirea SINC), cu increment 1], impartirea facindu-se indirect prin inversarea valorilor rampei in modul nelinear / reciproc si apoi prin inmultire cu SIN.

Completam SINC cu 1-ul esantion, de valoare 1, (constituim o secenta UNU (cu 1 esantion de valoare 1) de tip impuls, la care sa adaugam, in modul editare / adaugare, secenta SINC).

Pentru o perfecta simetrie, generam secenta CNIS, simetrica (si in denumire) cu SINC, prin editare / basculare, si apoi secenta globala SSS prin con-catenarea CNIS si SINC, prin editare / adaugare.

Purtatoarea COS e cosinusoidală cu
($W_{cos} = \pi/2$) $B = 31 \cdot 2\pi / 199 = 0,978787658$, avind 31 de perioade si 200 esantioane (nr.impar de perioade si 199 in loc de 200 la numitorul lui B - pentru simetrie perfecta, cu axa centrala la $(n) = 99,5$ - intrucit $n = (0, \dots, 199)$.

Simulam MA de produs, obtinind SSSP prin inmultirea secenta cu secenta a SSS si COS. }

* Se vizualizeaza periodograma BLD al lui SSSP, continuta in secenta XSSSPC, din fisierul XSSSPC_.DSP care se incarca de pe disc.

{ Detalii despre modul in care s-a obtinut XSSSPC : Pentru sevante reale, avind deci periodograma d.s.p. para (pentru proprietatile de paritate vezi aplicatia 2.1, pag.45-curs), programul PCDSP nu afiseaza decit una din cele 2 BL ale d.s.p., in zona $F = 0 \dots 0,5$. Pentru o afisare a ambelor BL (similara cu afisarea modulului TFR - vezi verificarile de consistenta de mai sus), a trebuit ca sevanta sa fie facuta, formal, complexa prin adaugarea $0,001 \cdot j$, valoare mica, ce nu modifica spectrul, la fiecare esantion al SSSP (s-a constituit, in prealabil sevanta IMAG200, de tip fereastra dreptunghiulara cu inaltimea micsorata prin inmultire cu $0,001$ si, apoi, sevanta formală SSSPCPLX, in modul editare / complex, cu sevanta SSSP ca partea reala si sevanta IMAG200 ca parte imaginara). XSSSPC este deci periodograma lui SSSPCPLX, reprezentare aproximativa d.s.p.-BLD a lui SSSP }

* Se calculeaza transformata Hilbert a lui SSSP, prin trecerea sevantei SSSP prin filtrul digital RFI - transformator Hilbert
(posibila si in modul filtru / procesare) realizata prin convolutia SSSPHILB = SSSP * HILB :
[DATE / PROCESARE / CONVOLUTIE < SSSPHILB, SSSP, HILB >].

* Se vizualizeaza SSSPHILB, spre comparatie cu SSSP. (Sevanta SSSPHILB e disponibila si in fisierul SSSPHILB.DSP de pe disc)
Se observa ca $N_{SSSPHILB} = N_{SSSP} + N_{HILB} - 1 = 262$.

* Se incarca de pe disc fisierul SSSS_.DSP, si se vizualizeaza sevanta SSSS care reprezinta modificarea SSSP pentru procesarea ulterioara BLU, prin prelungirea la aceeasi lungime cu SSSPHILB, pastrind-ul insa centrul, deci prin adaugarea a cte 31 esantioane 0 la stinga si la dreapta
(modul procesare / -translatie si -adaugare 0).

* Se incarca de pe disc fisierele SSSSS_.DSP si SSSSHILB.DSP ce contin trunchierea simetrica a sevantei SSSS, cu cte 3 esantioane, la stinga si la dreapta (realizata in modul editare / copiere) pentru a trece la lungimea 256 (putere a lui 2), in vederea TFR.

* Se calculeaza sevantele FSSSSS si FSSSSH ce reprezinta TFR a sevantei SSSSS si a transformatei sale Hilbert, SSSSHILB.
[DATE / TRANSFORMARE / TFR]

* Se verifica faptul ca transformatorul Hilbert digital e un defazor $\pi/2$ de banda larga(verificarea anterioara a defazorului s-a facut doar pentru o singura armonica), listind pe ecran FSSSSS si FSSSSH,
[SISTEM / TIPIRARE < FSSSSS , S > , etc.], alegind 3 perechi de esantioane spectrale, de exemplu cele numerotate 30,31,32 in liste si completind (cu doar 3 cifre exacte si cu o reprezentare grafica fazoriala aproximativa) tabelul comparativ:

E x e r c i t i i - Se propun ca exercitii dezvoltarea unor exemple care sa prezinte si alte aspecte calitative ale analizei temporale si spectrale a semnalelor, de exemplu:

- Discontinuitate in semnal (/ sau intr-o derivata de-a lui)
 - > prezenta $\delta(t)$ in derivata (/ de ordin superior)
 - > spectru infinit
- Semnal / spectru abrupt (derivate mari)
 - <-> spectru / semnal neted (derivate mici)
 - [la limita, $\delta(t) \leftrightarrow 1$]
- Simularea cu PCDSP a unui semnal MF
- Interpolarea a doua secvente (intreteserea esantioanelor)
- Evidențierea alierii spectrale la sub - esantionare, etc.